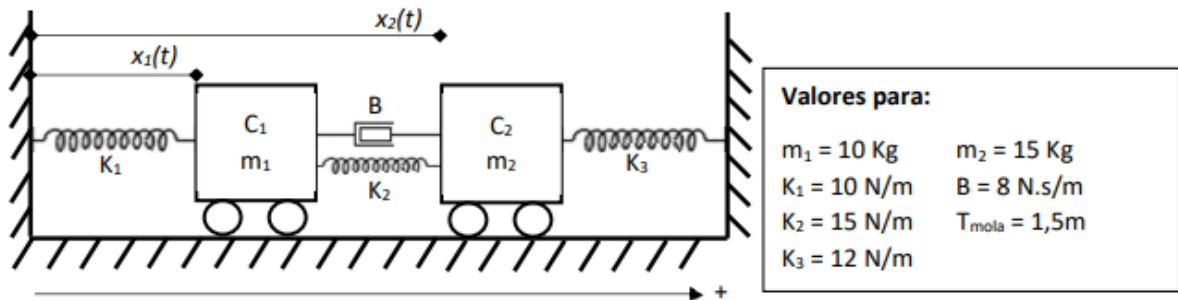


Trabalho de ASL



Modelagem de um sistema de dois graus de liberdade

Discentes:

Pedro Siade Ferreira

João Pedro dos Santos Nunes

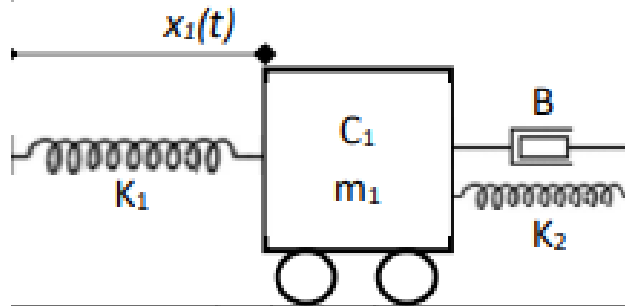
Docente:

Sandrerley Ramos Pires

Modelagem

Estratégia utilizada:

Representar cada bloco separadamente, com as forças que atuam sobre o mesmo, definindo assim uma equação para cada um.



Equação para C1:

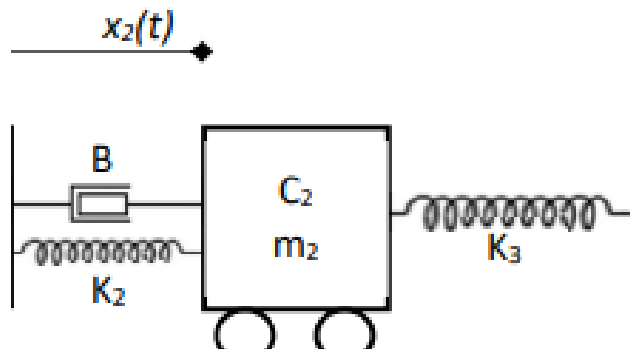
$$Fr = -Fk1 - Fk2 - FB2$$

$$m1 * x1(t)'' = -B(x1(t) - x2(t))' - k1x1(t) - k2(x1(t) - x2(t))$$

$$m1 * x1(t)'' + B(x1(t) - x2(t))' + k1x1(t) + k2(x1(t) - x2(t)) = 0$$

$$m1 * x1(t)'' + B(x1(t) - x2(t))' + k1x1(t) + k2(x1(t) - x2(t)) = 0$$

$$10 * x1(t)'' + 8x1(t)' - 8x2(t)' + 10x1(t) + 15x1(t) - 15x2(t) = 0 \quad (1)$$



Equação para C2:

$$m2 * x2(t)'' = -B(x2(t) - x1(t))' - k3x2(t) - k2(x2(t) - x1(t))$$

$$m2 * x2(t)'' + B(x2(t) - x1(t))' + k3x2(t) + k2(x2(t) - x1(t)) = 0$$

$$m2 * x2(t)'' + Bx2(t)' - Bx1(t)' + k3x2(t) + k2x2(t) - k2x1(t) = 0$$

$$15 * x2(t)'' + 8x2(t)' - 8x1(t)' + 12x2(t) + 15x2(t) - 15x1(t) = 0 \quad (2)$$

Dessa forma, há um sistema com duas equações:

$$10 * x_1(t)'' + 8x_1(t)' - 8x_2(t)' + 10x_1(t) + 15x_1(t) - 15x_2(t) = 0 \quad (1)$$

$$15 * x_1(t)'' + 8x_2(t)' - 8x_1(t)' + 12x_2(t) + 15x_2(t) - 15x_1(t) = 0 \quad (2)$$

Resolução do sistema:

Além disso, considerou-se as seguintes condições iniciais:

$$x_1(0) = c, x_2(0) = d, x_1(0)' \text{ e } x_2(0)' = 0$$

Para resolver o sistema foi utilizado Laplace, além disso foi utilizado o software Wolfram a fim de facilitar os cálculos.

Laplace de (1):

$$\begin{aligned} 10 * (s^2 x_1(t) - s x_1(0) - x_1(0)') + 8(s x_1(s) - x_1(0)) - 8(s x_2(s) - x_2(0)) + 25 x_1(s) \\ - 15 x_2(s) \\ = 0 \end{aligned}$$

$$10 * (s^2 x_1(s) - c s) + 8(s x_1(s) - c) - 8(s x_2(s) - d) + 25 x_1(s) - 15 x_2(s) = 0$$

$$x_1(s)(10 * s^2 + 8s + 25) = x_2(s)(8s + 15) + 10 * c * s + 8 * c - 8 * d$$

$$x_1 = (x_2(s)(8s + 15) + 10 * c * s + 8c - 8 * d)(10 * s^2 + 8s + 25) \quad (1)$$

Laplace de (2):

$$\begin{aligned} 15 * (s^2 x_2(s) - s x_2(0) - x_2(0)') + 8 * (s x_2(s) - x_2(0)) - 8(s x_1(s) - x_1(0)) + 27 x_2(s) \\ - 15 x_1(s) = 0 \end{aligned}$$

$$15 * (s^2 x_2(s) - d s) + 8 * (s x_2(s) - d) - 8(s x_1(s) - c) + 27 x_2(s) - 15 x_1(s) = 0$$

$$x_2(s) * (15s^2 + 8s + 27) = 15 * d * s + 8 * d - 8 * c + x_1(s)(8s + 15)$$

$$x_2(s) = (15 * d * s + 8 * d - 8 * c + x_1(s)(8s + 15))(15s^2 + 8s + 27) \quad (2)$$

Substituindo $x_2(s)$ em $x_1(s)$ obtemos uma função dependente apenas de $x_1(s)$:

$$x_1(s) = ((15 * d * s + 8 * d - 8 * c + x_1(s)(8s + 15))(15s^2 + 8s + 27))(8s + 15) + 10 * c * s + 8c - 8 * d)(10 * s^2 + 8s + 25)$$

Isolando $x_1(s)$

$$x_1(s) = (150 c s^3 + 200 c s^2 + 270 c s + 96 c + 225 d s - 96 d) / (150 s^4 + 200 s^3 + 645 s^2 + 176 s + 450)$$

Substituindo $x_1(s)$ em $x_2(s)$, a fim de determinar $x_2(s)$:

$$x_2(s) = (((150 c s^3 + 200 c s^2 + 270 c s + 96 c + 225 d s - 96 d) / (150 s^4 + 200 s^3 + 645 s^2 + 176 s + 450)) * (8s + 15) + 15 * d * s + 8 * d - 8 * c) / (15s^2 + 8s + 27)$$

$$x_2(s) = (5(30s^3 + 40s^2 + 75s + 16) + 30cs - 16c) / (150s^4 + 200s^3 + 645s^2 + 176s + 450)$$

Utilizando a seguinte calculadora, foi obtido a inversa de $x_1(s)$ e $x_2(s)$:

$x_1(t)$:

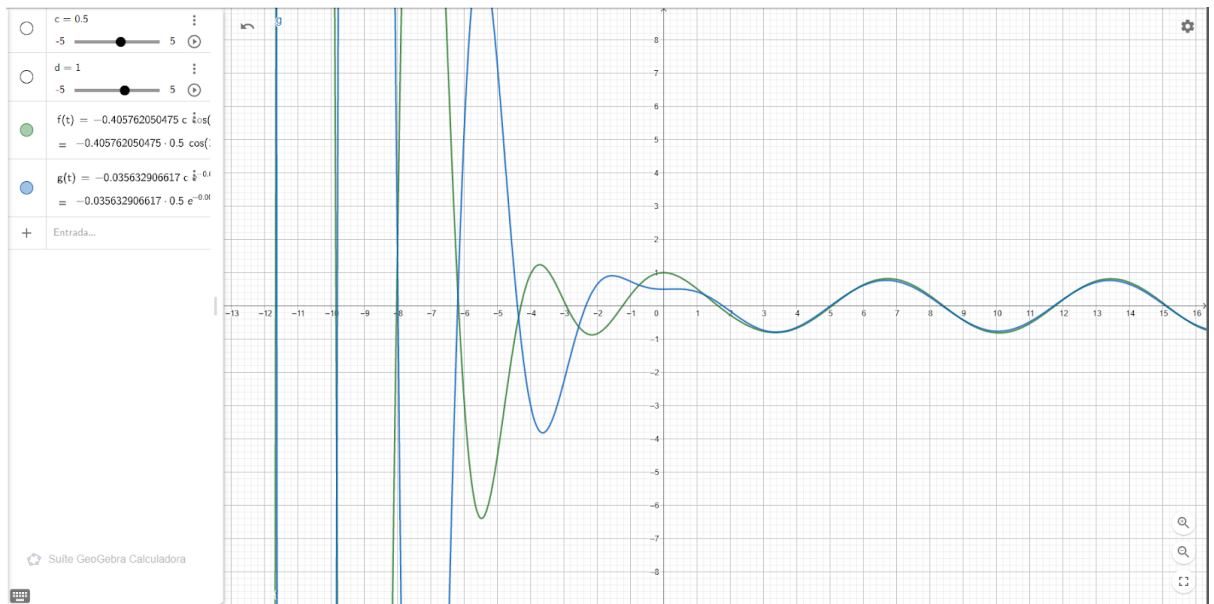
$$\begin{aligned} & -0.035632906617c e^{(-0.000797351457t)} \sin(0.936459671869t) + 0.259029417775c e^{(-0.665869315209t)} \sin(1.725554106593t) + 0.379765860396c \cos(0.936459671869t) e^{(-0.000797351457t)} \\ & + 0.620234139604c \cos(1.725554106593t) e^{(-0.665869315209t)} - 0.582099687076d \cos(1.725554106593t) e^{(-0.665869315209t)} - 0.232972905387d e^{(-0.665869315209t)} \sin(1.725554106593t) \\ & + 0.016373699932d e^{(-0.000797351457t)} \sin(0.936459671869t) + 0.582099687076d \cos(0.936459671869t) e^{(-0.000797351457t)} \end{aligned}$$

$x_2(t)$:

$$\begin{aligned} & -0.405762050475c \cos(1.725554106593t) e^{(-0.665869315209t)} - 0.142530574607c e^{(-0.665869315209t)} \sin(1.725554106593t) - 0.025194048546c e^{(-0.000797351457t)} \sin(0.936459671869t) \\ & + 0.405762050475c \cos(0.936459671869t) e^{(-0.000797351457t)} + 0.037005880652d e^{(-0.000797351457t)} \sin(0.936459671869t) \\ & + 0.127296276424d e^{(-0.665869315209t)} \sin(1.725554106593t) + 0.380439685332d \cos(1.725554106593t) e^{(-0.665869315209t)} \\ & + 0.619560314668d \cos(0.936459671869t) e^{(-0.000797351457t)} \end{aligned}$$

[Calculadora de Transformada inversa de Laplace online \(calculadoras online.com\)](http://calculadoras.online.com)

Análise gráfica do resultado:



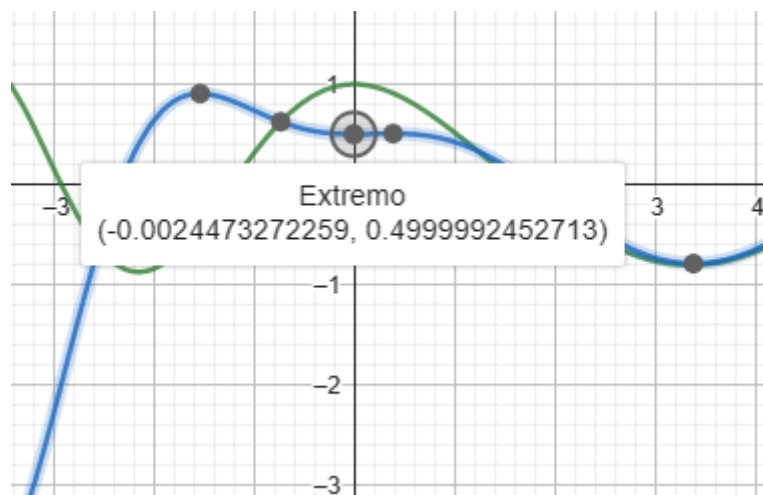
Com o comportamento gráfico de x_1 e x_2 é possível conferir o movimento oscilatório esperado pelo trabalho. Além disso, tanto quanto x_1 e x_2 cumprem as condições iniciais, haja vista que determinando $c=0.5$ e $d=1.0$, é possível conferir que $x_1(0)=0.5$ e $x_2(0)=1$, logo a função obtida cumpre as condições iniciais, o PVI.

Outrossim, é importante ressaltar a presença da função degrau unitário, a qual faz parte da transformada inversa de ambas funções, com isso se $t < 0$, então x_1 e $x_2 = 0$. Dessa forma, é plausível considerar x_1 e x_2 no gráfico apenas para valores em que $t \geq 0$.

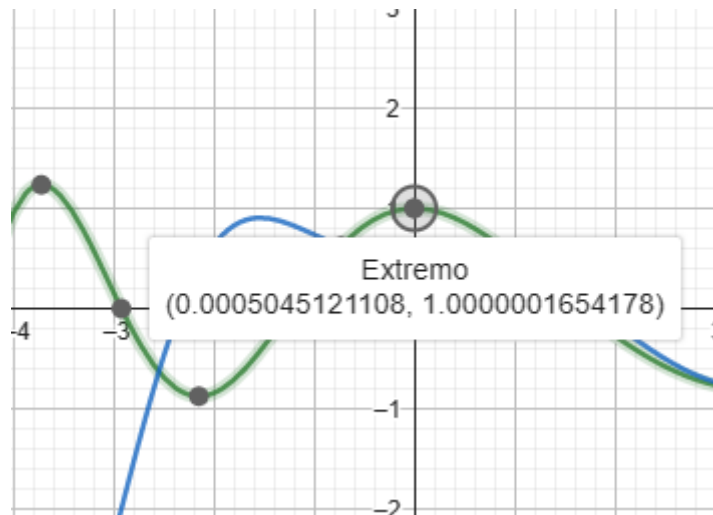
x_1 : azul

x_2 : verde

$x_1(0)=0.5$



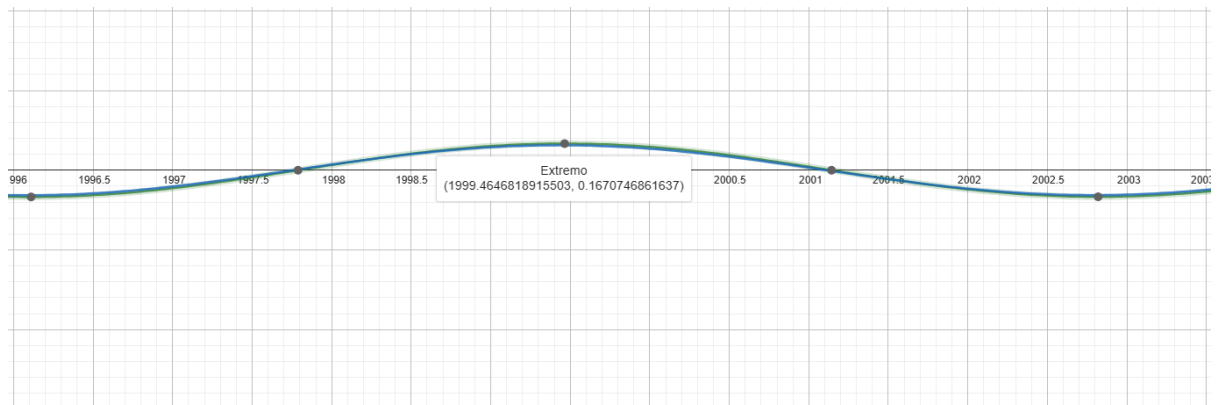
$x_2(0)=1$



Outra questão imprescindível notada pelo gráfico é a função do amortecedor, o mesmo é responsável pelo fato do sistema não ser um MHS, sendo responsável por exercer papel resistivo, tendo como consequência o seguinte resultado:

$$\text{Se } t \rightarrow \infty, v_1 = v_2 = x_1 = x_2 = 0$$

x_1 e x_2



Quando 't' se aproxima de valores grandes como 2000 é possível conferir que o sistema está tendendo a zero e que a amplitude da senoide está próxima de zero. Haja vista que, quando $t=0$, ambas senoides possuíam amplitude maior que a conferida pelo gráfico acima, entre (0.5 e 1), sendo assim é possível concluir que o valor máximo de x_1 e x_2 estão decrescendo e caminhando para zero. Dessa forma, é possível afirmar que o resultado está de acordo com a teoria e ainda verificar graficamente a função do amortecedor.

Conclusão:

Com essa análise do resultado pode-se concluir que o resultado esperado foi obtido, sendo as funções obtidas senoides amortecidas como o esperado.

Foi conferido $x_1(0)$ e $x_2(0)$ a fim de validar a inversa encontrada pelo software citado.

Na simulação dos blocos é possível perceber a desaceleração do bloco para valores grandes de t , além da baixa amplitude de movimentação de ambos blocos.

Ressalta-se a complexidade da análise de sistemas de dois graus de liberdade. Os preceitos utilizados na análise de sistema de um grau de liberdade ainda são utilizados, mas é notório a maior complexidade em questão de cálculo, por conta disso torna-se fundamental ajuda computacional a fim de se obter as funções as quais descrevem o movimento.